

画像情報特論 (2)

Hybrid TCP

情報理工学専攻 甲藤二郎

E-Mail: katto@waseda.jp

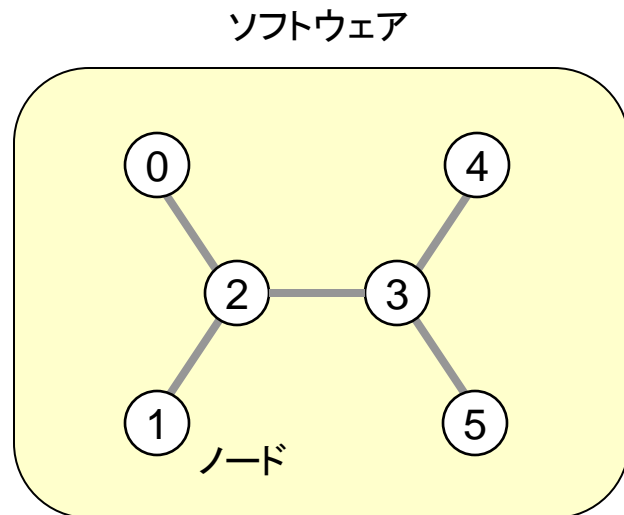
ネットワーク・シミュレーション & エミュレーション

ネットワークの研究

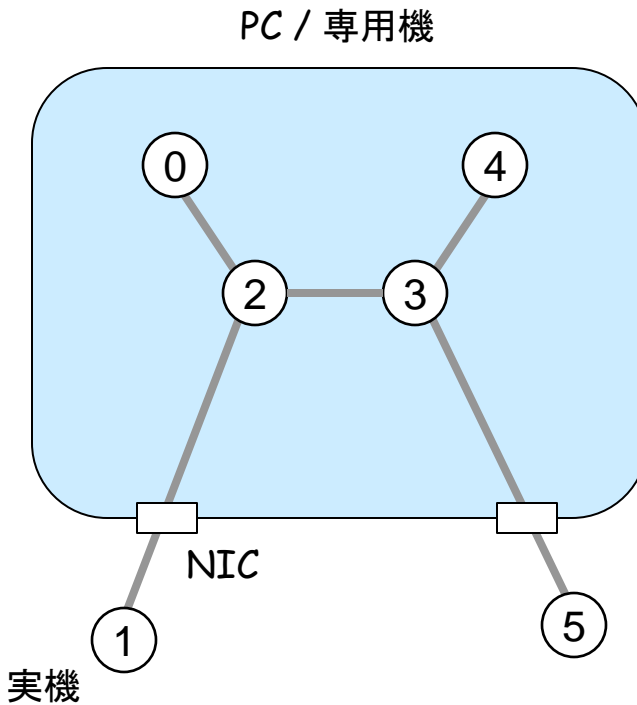
- アルゴリズム
- 理論解析
- シミュレーション
- エミュレーション
- 実装

シミュレータとエミュレータ (1)

- ・ シミュレーション



- ・ エミュレーション



シミュレータとエミュレータ(2)

シミュレータ	エミュレータ	URL
ns-2 (ns)	(nse)	http://www.isi.edu/nsnam/ns/
ns-3		http://www.nsnam.org/
OPNET		http://www.opnet.com/
Qualnet, GloMoSim	Exata	http://www.scalable-networks.com/
Scenergie		http://www.spacetime-eng.com/
	PacketStorm	http://www.packetstorm.com/
	Cloud	http://www.shunra.com/ve-cloud.php

Ns-2 (1)

- <http://www.isi.edu/nsnam/ns/>

The screenshot shows a Microsoft Internet Explorer window displaying the official website for The Network Simulator (ns-2). The title bar reads "The Network Simulator - ns-2". The page content includes a note about migration to a new wiki, a brief history of the project, and sections for "Read this first" and "Links to help getting started". The "Links to help getting started" section is expanded, listing various documentation and development resources.

Note: The project is migrating these web pages to a new [wiki](#). This page can now be found [here](#).

Ns is a discrete event simulator targeted at networking research. Ns provides substantial support for simulation of TCP, routing, and multicast protocols over wired and wireless (local and satellite) networks.

Ns began as a variant of the [REAL network simulator](#) in 1989 and has evolved substantially over the past few years. In 1995 ns development was supported by DARPA through the [VINT project](#) at LBL, Xerox PARC, UCB, and USC/ISI. Currently ns development is supported through DARPA with [SAMAN](#) and through NSF with [CONSER](#), both in collaboration with other researchers including [ACIRI](#). Ns has always included substantial contributions from other researchers, including wireless code from the UCB Daedelus and CMU Monarch projects and Sun Microsystems. For documentation on recent changes, see the version 2 [change log](#).

Read this first:

While we have considerable confidence in ns, ns is not a polished and finished product, but the result of an on-going effort of research and development. In particular, bugs in the software are still being discovered and corrected. Users of ns are responsible for verifying for themselves that their simulations are not invalidated by bugs. We are working to help the user with this by significantly expanding and automating the [validation tests](#) and [demos](#).

Similarly, users are responsible for verifying for themselves that their simulations are not invalidated because the model implemented in the simulator is not the model that they were expecting. The ongoing [Ns Manual](#) should help in this process.

Links to help getting started

- **Getting ns and avoiding problems**
 - [Download and Build ns](#)
 - [Installation Problems and Bug Fixes](#)
 - [Validation Tests and Demos](#)
 - [Copyright statement](#)
 - [Bug report form](#)
- **Documentation:**
 - **core documentation:**
 - [ns frequently asked questions](#)
 - limitations: [limitations and assumptions of ns](#), [advice on running simulations](#)
 - introductory: [Marc Greis's tutorial](#) (now maintained by VINT group), also see "[NS for Beginners](#)" by Altman and Jimenez
 - reference: [Ns Manual](#) (formerly called "ns Notes and Documentation")
 - errata: [Installation Problems and Bug Fixes](#)
 - **development help:**
 - [NS-related Mailing Lists](#)
 - [debugging tips](#)

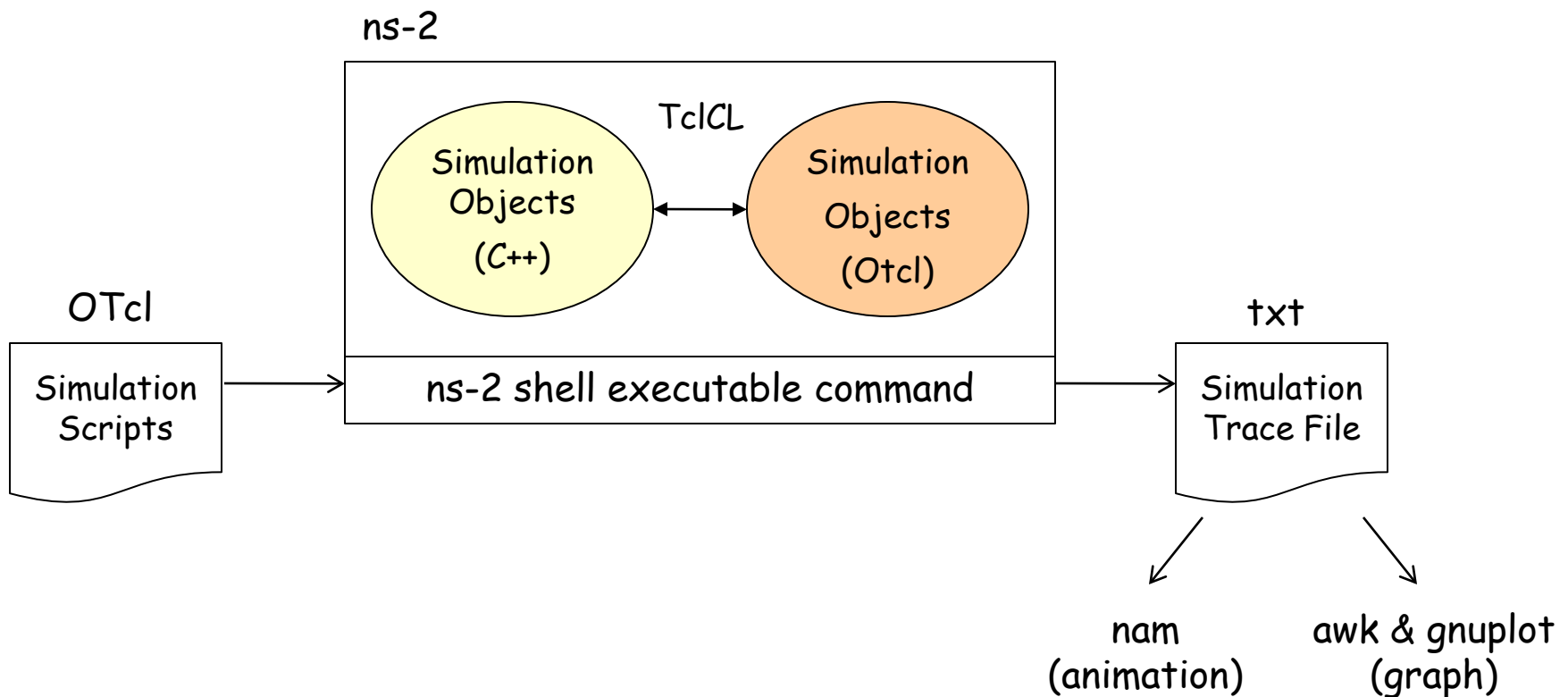
Ns-2 (2)

- ダウンロードサイト
 - 2.29以降:
<http://sourceforge.net/projects/nsnam/>
 - 2.28以前:
<http://www.isi.edu/nsnam/dist/>

allinone をダウンロード、展開、configure、makeするのが楽
(Tcl/Tk, Otcl, TclICL, ns, nam)

Ns-2 (3)

- ns-2 Architecture



Ns-2 (4)

- *Simulation scripts (*.tcl)*

```
# パラメータの初期設定
# Simulatorオブジェクトの生成
set ns [ new Simulator ]
# ネットワークトポジの定義
# エージェントやアプリケーションの定義
# プロシージャの定義 (finish等)
proc finish () ...
# イベント定義
$ns at 1.0 "$ftp start"
# シミュレーション開始
$ns run
```

```
set ns [new Simulator]
set f [open out.tr w]
$ns trace-all $f

set n0 [$ns node]
set n1 [$ns node]
$ns duplex-link $n0 $n1 100Mb 1ms DropTail

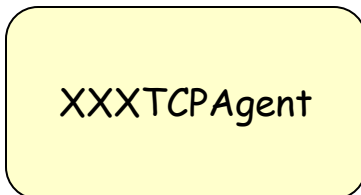
set udp0 [new Agent/UDP]
$ns attach-agent $n0 $udp0
set cbr0 [new Application/Traffic/CBR]
$cbr0 attach-agent $udp0
...
```

Ns-2 (5)

- Simulation Objects (C++/OTcl)

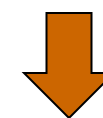
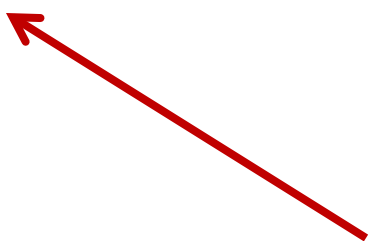
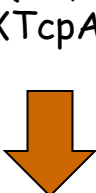
C++

```
static class XXXTcpClass : public TclClass {  
public:  
    XXXTcpClass() : TclClass("Agent/TCP/XXX") {}  
    TclObject* create(int, const char*const*) {  
        return (new XXXTcpAgent());  
    }  
} class_XXX;
```



OTcl

```
set tcp [new Agent/TCP/XXX]
```

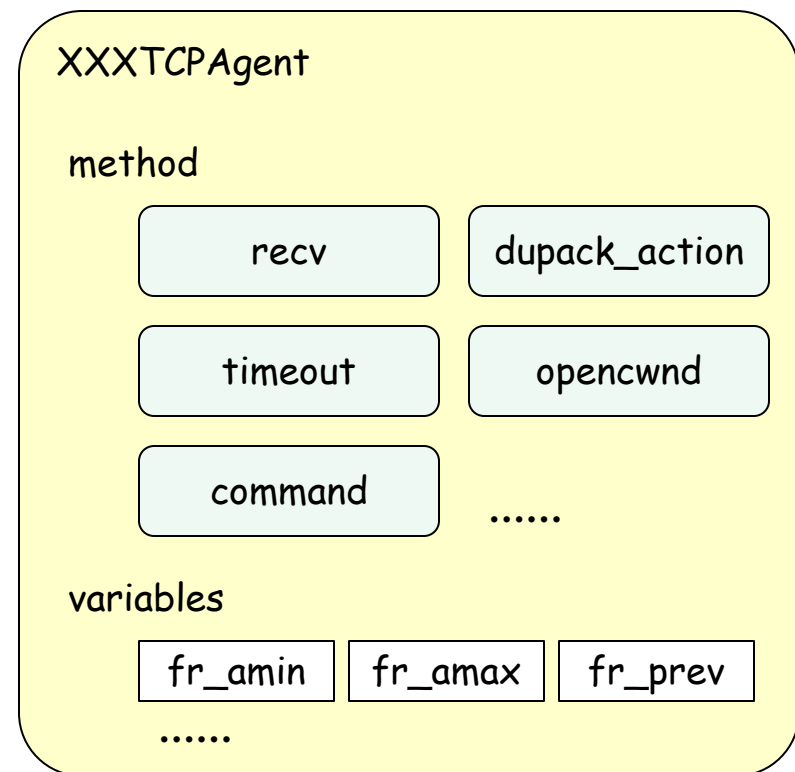


Ns-2 (6)

- Simulation Objects (C++/OTcl)

C++

```
class XXXTcpAgent : public TcpAgent {  
public:  
    XXXTcpAgent();  
    virtual void recv(Packet *pkt, Handler*);  
    virtual void dupack_action();  
    virtual void timeout (int tno);  
    virtual void opencwnd();  
    ...  
protected:  
    int command(int argc, const char*const* argv);  
  
    double fr_amin_;  
    double fr_amax_;  
    double fr_prev_;  
}
```



Ns-2 (7)

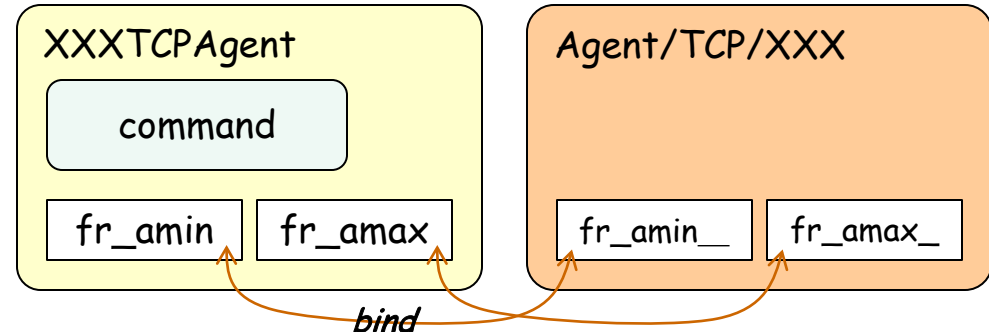
- Simulation Objects (C++/OTcl)

C++

```
XXXTcpAgent::XXXTcpAgent()
{
    bind("fr_amin_", &fr_amin_);
    bind("fr_amax_", &fr_amax_);
    ...
}
XXXTCPAgent::command(int argc, const char*const* argv)
{
    if (argc == 3) {
        if (strcmp(argv[1], "target") == 0 ) {
            ...
        }
    }
    return (NsObject::command(argc,argv));
}
```

OTcl

```
set tcp [new Agent/TCP/XXX]
$tcp set fid_1
$tcp set fr_amin_ 0.2
$tcp set fr_amax_ 0.8
$tcp target [new Agent/Null]
```



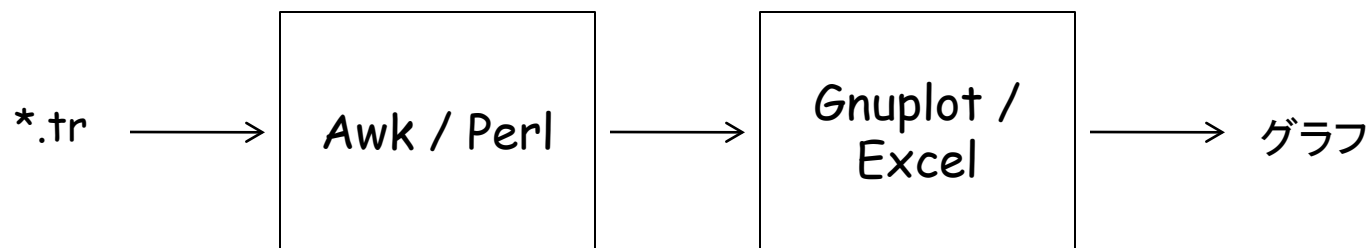
Ns-2 (8)

- Trace File (*.tr)

```
+ 1.84375 0 2 cbr 210 ----- 0 0.0 3.1 225 610
enqueue →
- 1.84375 0 2 cbr 210 ----- 0 0.0 3.1 225 610
dequeue →
r 1.84471 2 1 cbr 210 ----- 1 3.0 1.0 195 600
receive →
r 1.84566 2 0 ack 40 ----- 2 3.2 0.1 82 602
+ 1.84566 0 2 tcp 1000 ----- 2 0.1 3.2 102 611
- 1.84566 0 2 tcp 1000 ----- 2 0.1 3.2 102 611
r 1.84609 0 2 cbr 210 ----- 0 0.0 3.1 225 610
+ 1.84609 2 3 cbr 210 ----- 0 0.0 3.1 225 610
d 1.84609 2 3 cbr 210 ----- 0 0.0 3.1 225 610
drop →
- 1.84612 2 3 cbr 210 ----- 0 0.0 3.1 192 511
r 1.84612 3 2 cbr 210 ----- 1 3.0 1.0 196 603
```

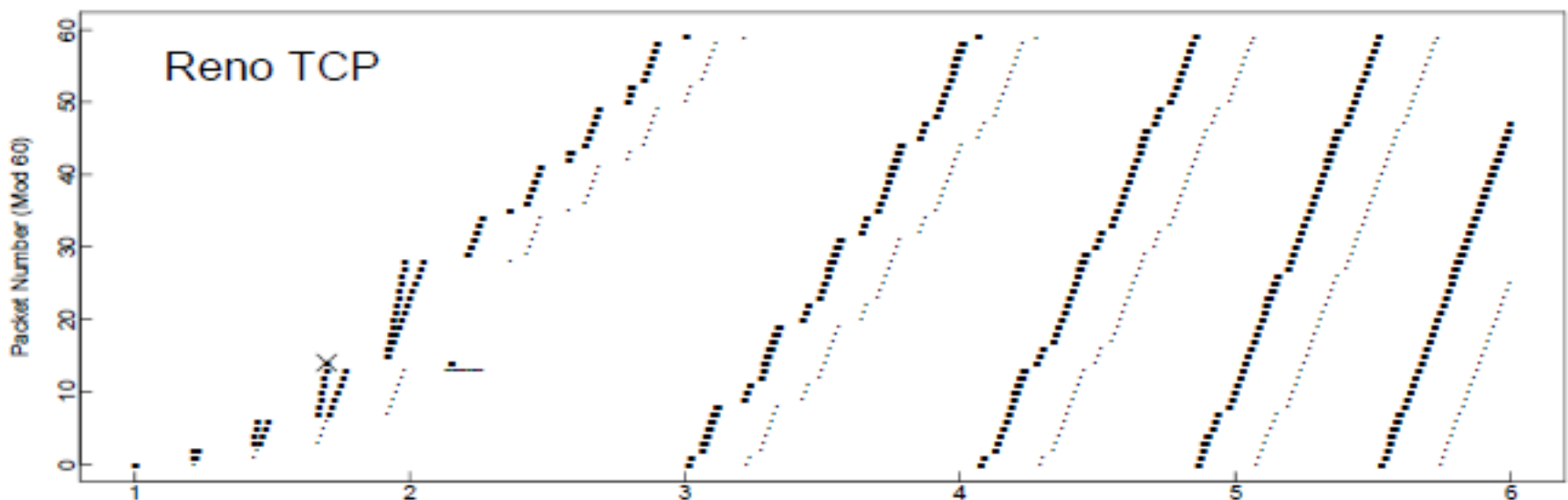
Ns-2 (9)

- Awk / Perl
 - スクリプトを用いたトレースファイルの整形
 - Gnuplotなどに合わせた出力



Ns-2 (10)

- 結果の例



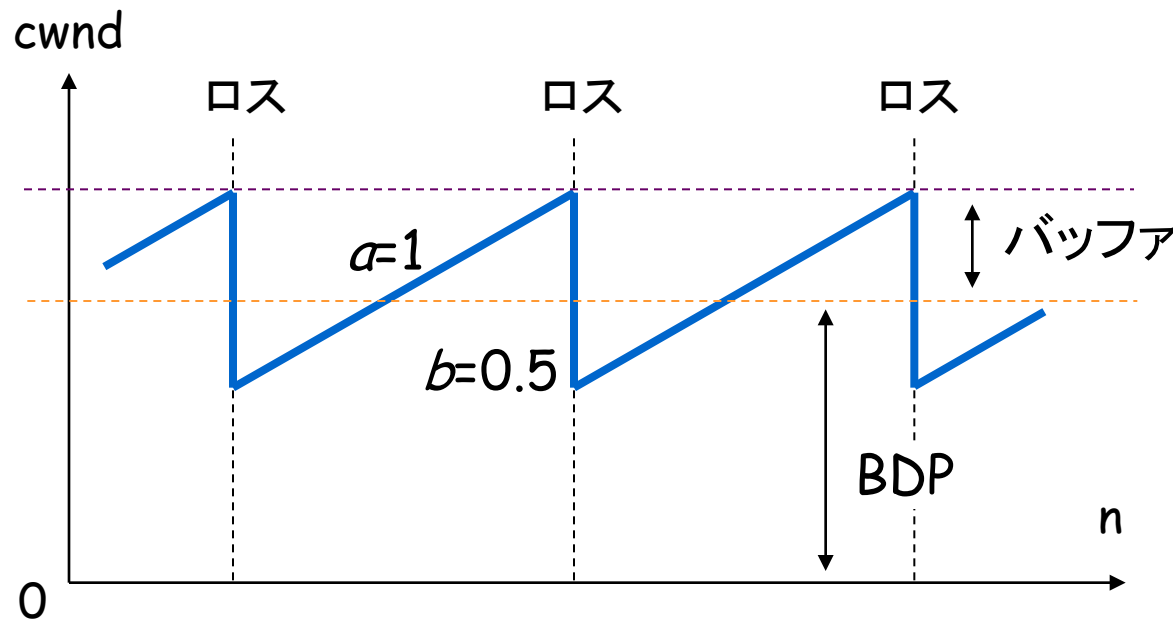
電子情報通信学会ネットワーク システム研究会アーカイブ

- http://www.ieice.org/~ns/jpn/archive_s.html
 - 2009/8: ns-2 (サマースクール)
 - 2009/8: OPNET (サマースクール)
 - 2009/12: Qualnet (チュートリアル)

その他、「ns-2 チュートリアル」などで検索をかけば情報多数
※ ns-3の情報はまだ少ない ⇒ チャンス

TCP Variants

TCP-Reno (loss-driven)

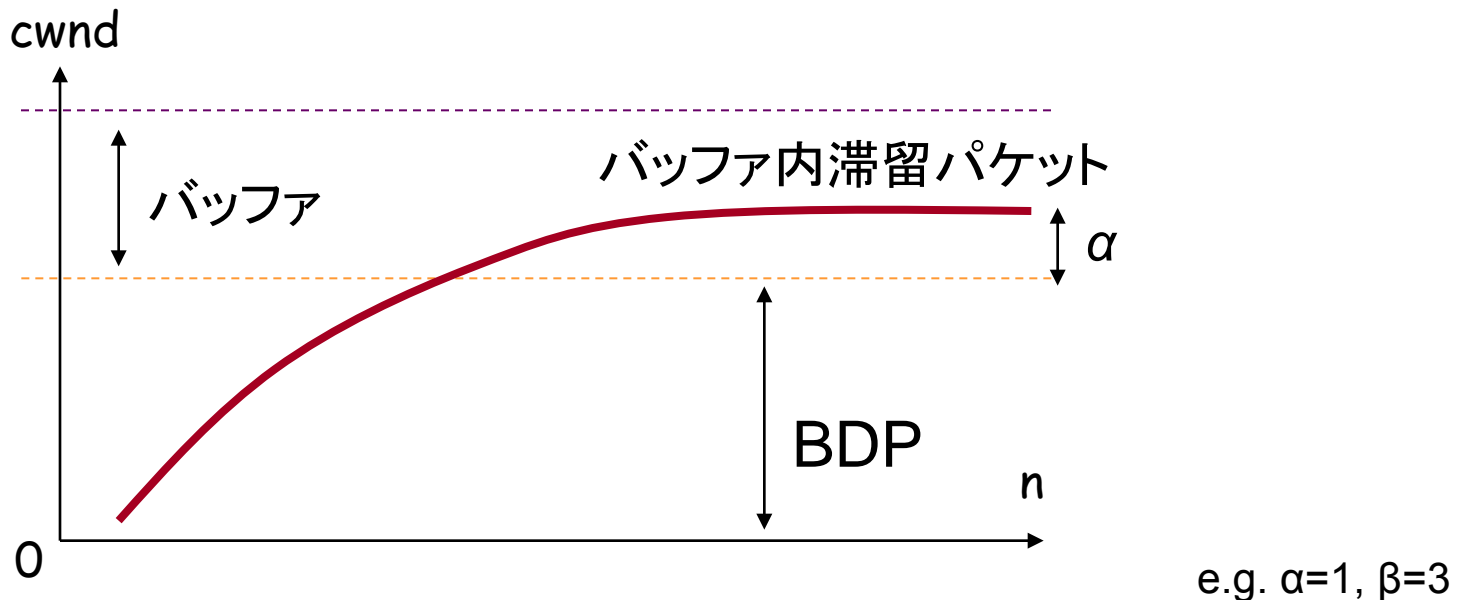


increase: $cwnd = cwnd + 1/cwnd$

decrease: $cwnd = cwnd / 2$

AIMD: additive increase multiplicative decrease

TCP-Vegas (delay-driven)



$$diff = \left(\frac{cwnd}{RTT_{min}} - \frac{cwnd}{RTT} \right) \cdot RTT_{min}$$

バッファ内滞留パケット数

increase:

$$cwnd = \begin{cases} cwnd + 1 & diff < \alpha \\ cwnd & otherwise \\ cwnd - 1 & diff > \beta \end{cases}$$

decrease:

$$cwnd = cwnd * 0.75$$

10年前のTCPの課題

- 有線ネットワークの高速化
 - ウィンドウの増加が追い付かない(非効率性)
- 無線ネットワークの普及
 - 無線エラーとバッファオーバーフローを区別できない
- TCP-Reno (NewReno, SACK) の支配
 - Reno は Vegas を排除する(非親和性)

2000年代の TCP Variants

- **Loss-driven (AIMD)**
 - TCP-Reno / NewReno / SACK
 - High-Speed TCP (IETF RFC 3649, Dec 2003)
 - Scalable TCP (PFLDnet 2003)
 - BIC-TCP / **CUBIC-TCP** (IEEE INFOCOM 2004, PFLDnet 2005) ... Linux
 - H-TCP (PFLDnet 2004)
 - TCP-Westwood (ACM MOBICOM 2001)
- **Delay-driven (RTT Observation)**
 - TCP-Vegas (IEEE JSAC, Oct 1995)
 - FAST-TCP (INFOCOM 2004)
- **Hybrid**
 - Gentle High-Speed TCP (PfHSN 2003)
 - TCP-Africa (IEEE INFOCOM 2005)
 - **Compound TCP** (PFLDnet 2006) ... Windows
 - Adaptive Reno (PFLDnet 2006)
 - YeAH-TCP (PFLDnet 2007)
 - TCP-Fusion (PFLDnet 2007)

Loss-driven TCPs

	<i>a</i>	<i>b</i>
Variants	Increase / Update	Decrease
TCP-Reno	1	0.5
aggressive	HighSpeed TCP (HS-TCP)	$a(w) = \frac{2w^2 \cdot b(w) \cdot p(w)}{2 - b(w)}$ <p>e.g. 70 (10Gbps, 100ms)</p> $b(w) = \frac{\log(w) - \log(W_{low})}{\log(W_{high}) - \log(W_{low})} (b_{high} - 0.5) + 0.5$ <p>e.g. 0.1 (10Gbps, 100ms)</p>
	Scalable TCP (STCP)	0.01 (per every ACK)
	BIC-TCP	$\begin{cases} \text{additive increase (fast)} \\ \text{binary search (slow)} \\ \text{max probing (fast)} \end{cases}$
	CUBIC-TCP	$w = 0.4(t - \sqrt[3]{2W_{\max}})^3 + W_{\max}$
adaptive	H-TCP	$\alpha \leftarrow 2(1 - \beta)\{1 + 10.5 \cdot (t - TH)\}$ $\beta \leftarrow \begin{cases} 0.5 & \text{for } \left \frac{B(k+1) - B(k)}{B(k)} \right > 2 \\ \frac{RTT_{\min}}{RTT_{\max}} & \text{otherwise} \end{cases}$
	TCP-Westwood (TCPW)	1 $\begin{cases} RE * RTT_{\min} / PS & (\text{not congested}) \\ BE * RTT_{\min} / PS & (\text{congested}) \end{cases}$

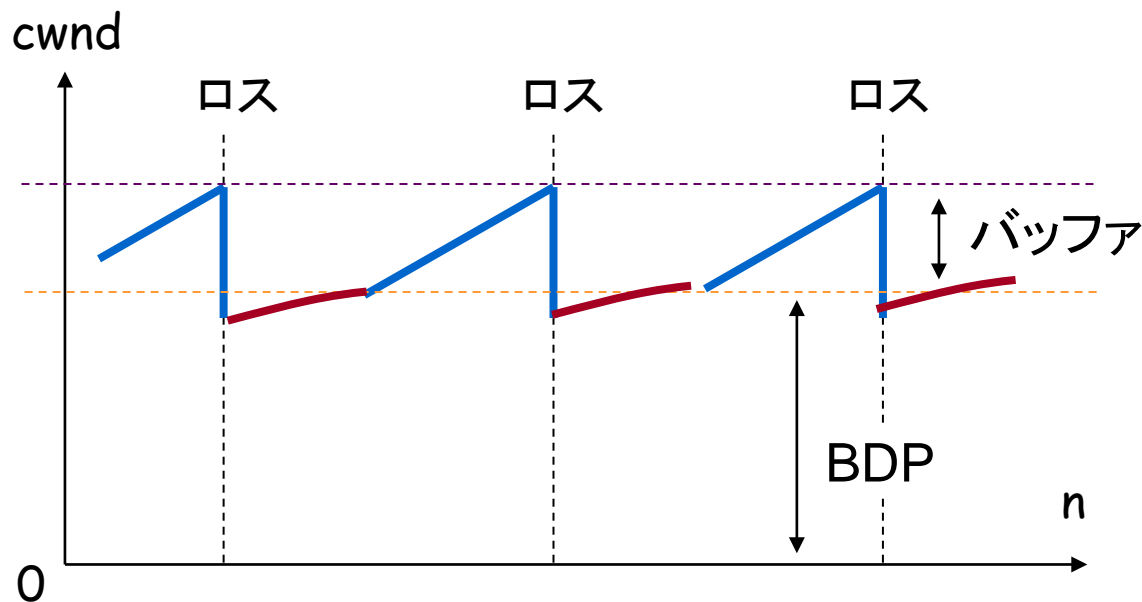
Delay-driven TCPs

a

b

Variants	Update	Decrease
TCP-Vegas	$w \leftarrow \begin{cases} w+1 & (\text{no congestion}) \\ w & (\text{stable}) \\ w-1 & (\text{early congestion}) \end{cases}$	0.75
FAST-TCP	$w \leftarrow \min \left\{ 2w, (1-\gamma)w + \gamma \left(\frac{RTT_{\min}}{RTT} w + \alpha \right) \right\}$	0.5 (?)

Hybrid TCP



- RTT増加なし: ロスモード ⇒ 親和性の改善
- RTT増加あり: 遅延モード ⇒ 効率性の改善

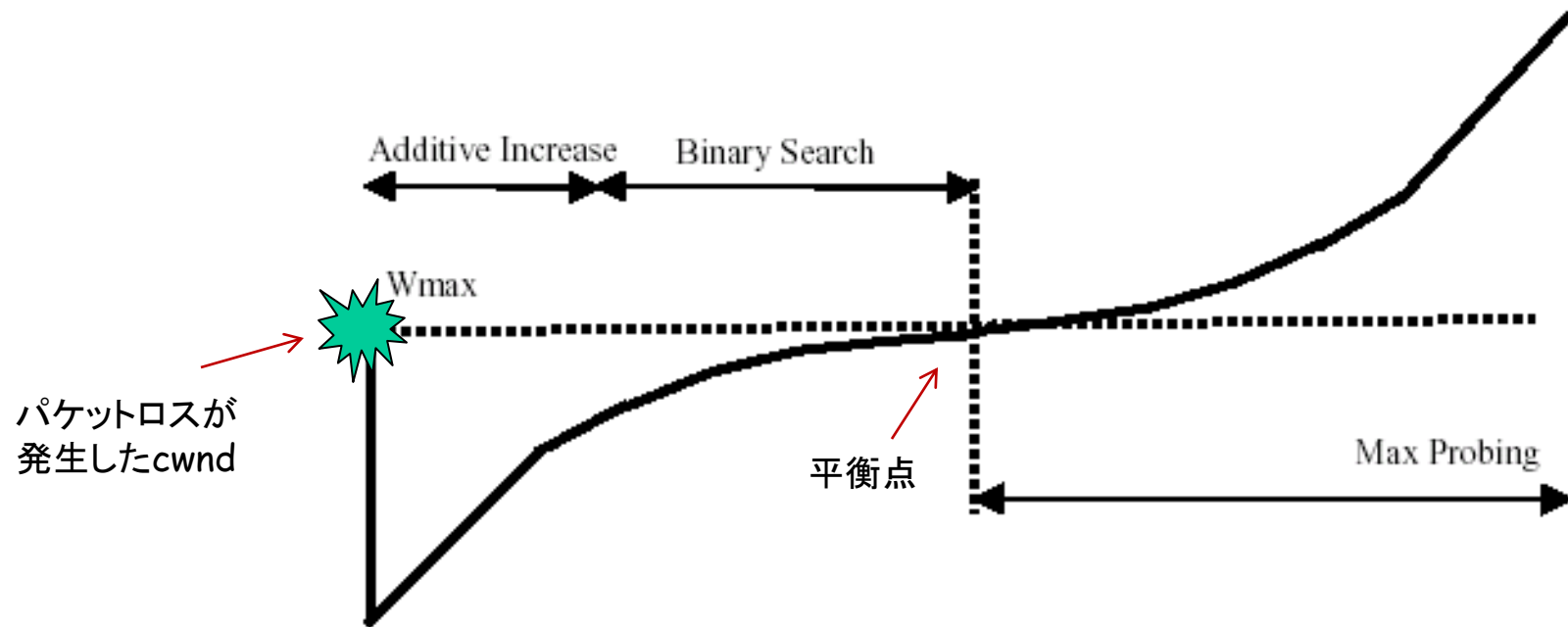
Hybrid TCPs

	<i>a</i>	<i>b</i>	
Variants	Increase	Decrease	
simple	Gentle HS-TCP TCP-Africa Compound TCP (CTCP) Adaptive Reno (ARENO)	HS-TCP / Reno HS-TCP / Reno $0.125 \cdot cwnd^{0.75} / \text{Reno}$ $B/10\text{Mbps} / \text{Reno}$	HS-TCP HS-TCP 0.5 $\begin{cases} 1 & (\text{non congestion loss}) \\ 0.5 & (\text{congestion loss}) \end{cases}$
adaptive	YeAH-TCP TCP-Fusion	$\text{STCP} / \text{Reno}$ $\max\left(\frac{\text{RTT}_{\min}}{\text{RTT}}, 0.5\right)$	
		$\max\left(\frac{\text{RTT}_{\min}}{\text{RTT}}, 0.5\right)$	

CUBIC-TCP

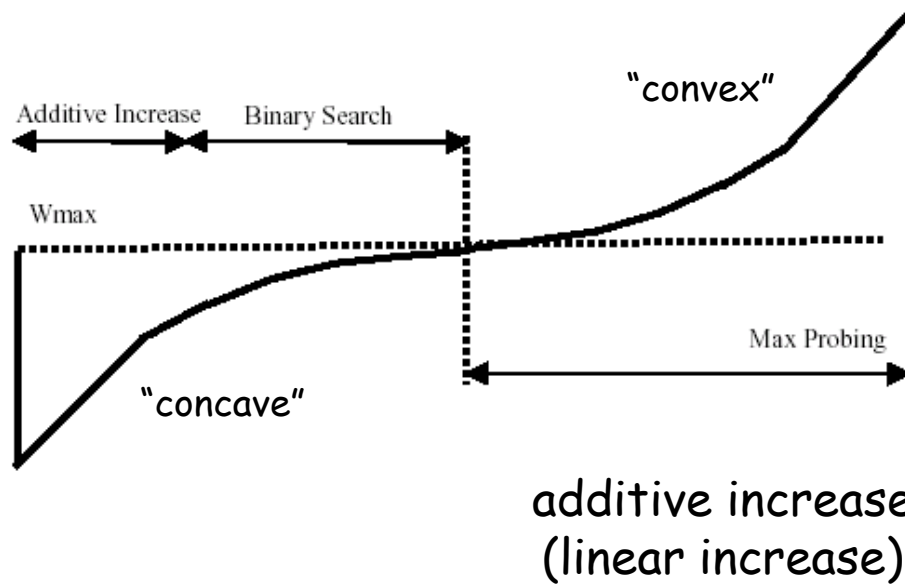
BIC-TCP (1)

- Binary Increase Congestion Control



BIC-TCP (2)

- Window Increase



W_{max} : 直前にパケット廃棄が起きた $cwnd$

S_{max} : $cwnd$ 増加の最大値 (e.g. 32)

S_{min} : $cwnd$ 増加の最小値 (e.g. 0.01)

binary search

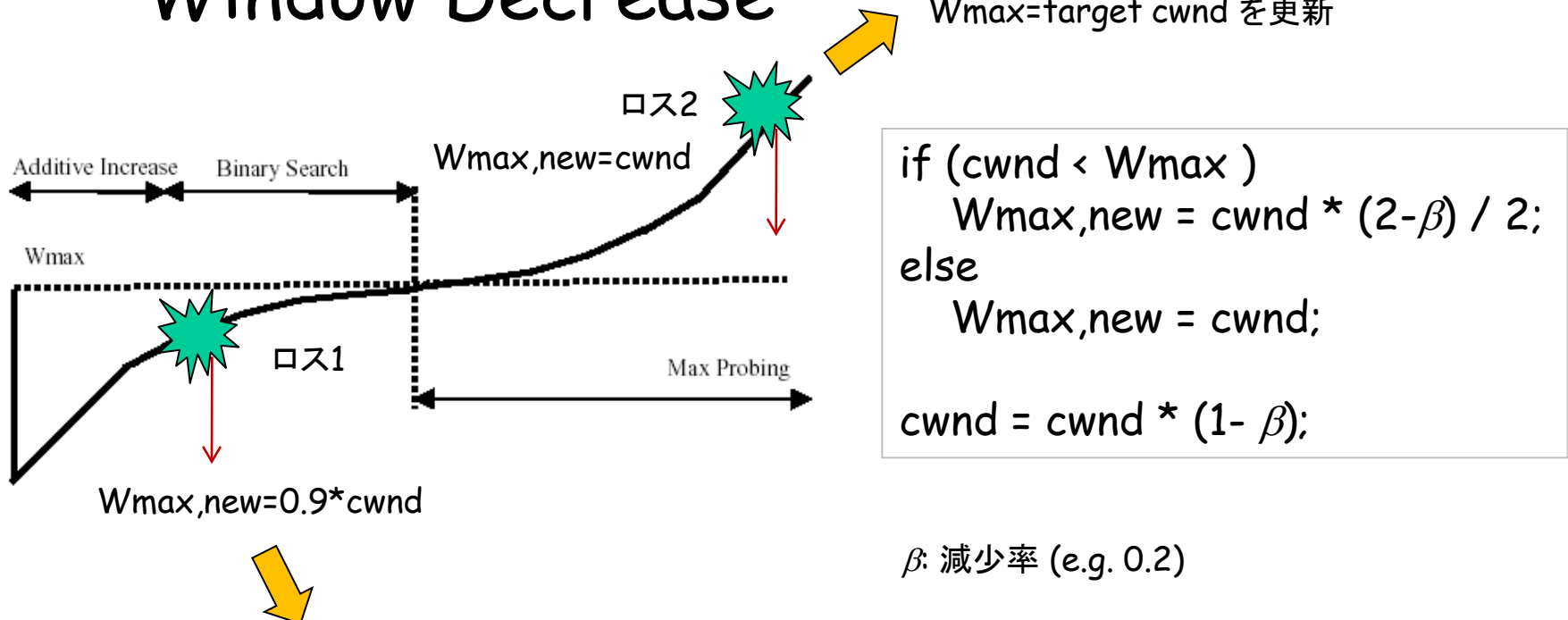
```
if (cwnd < Wmax )
    Winc = (Wmax - cwnd) / 2;
else
    Winc = (cwnd - Wmax) / 2;

if (Winc > Smax)
    Winc = Smax;
elseif (Winc < Smin)
    Winc = Smin;

cwnd = cwnd + Winc / cwnd;
```

BIC-TCP (3)

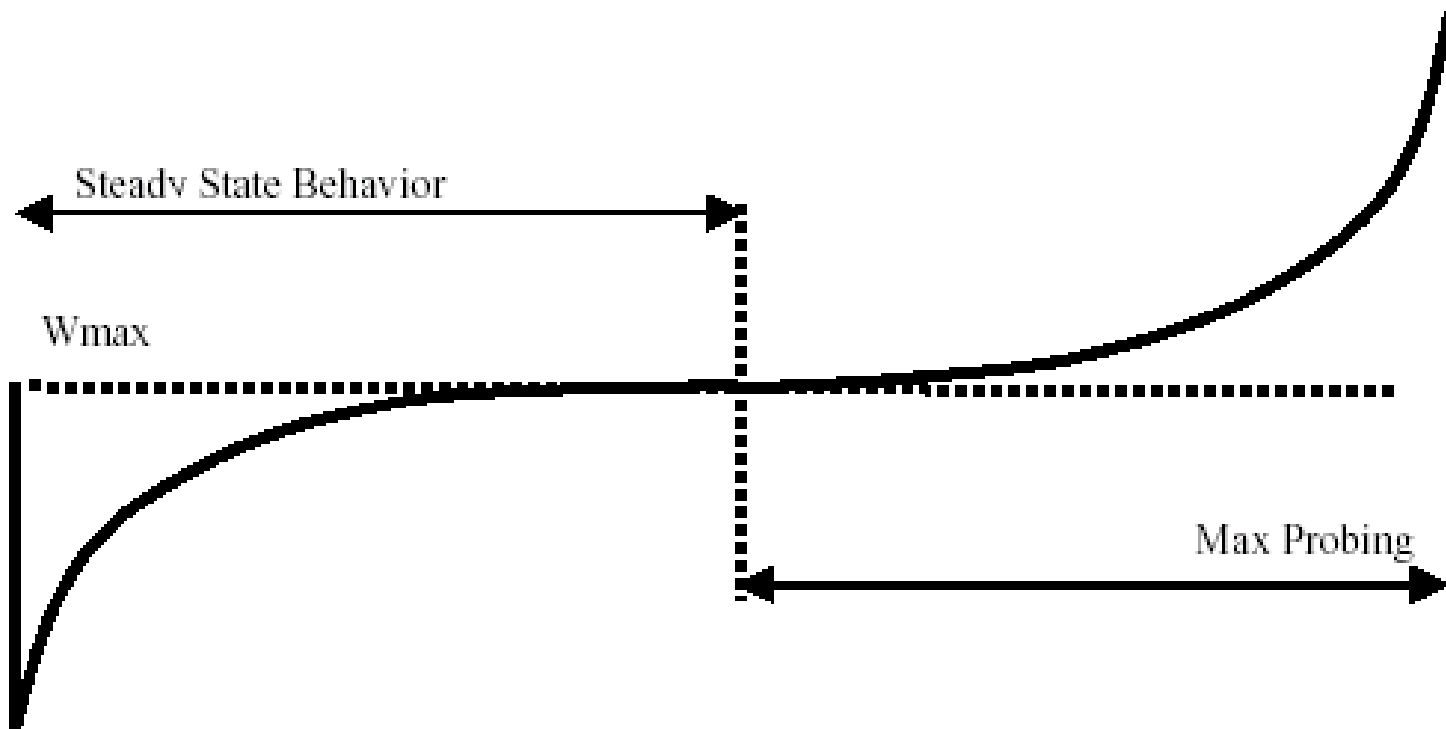
- Window Decrease



*0.9: 新規参入フローに帯域を与える
... "Fast Convergence"

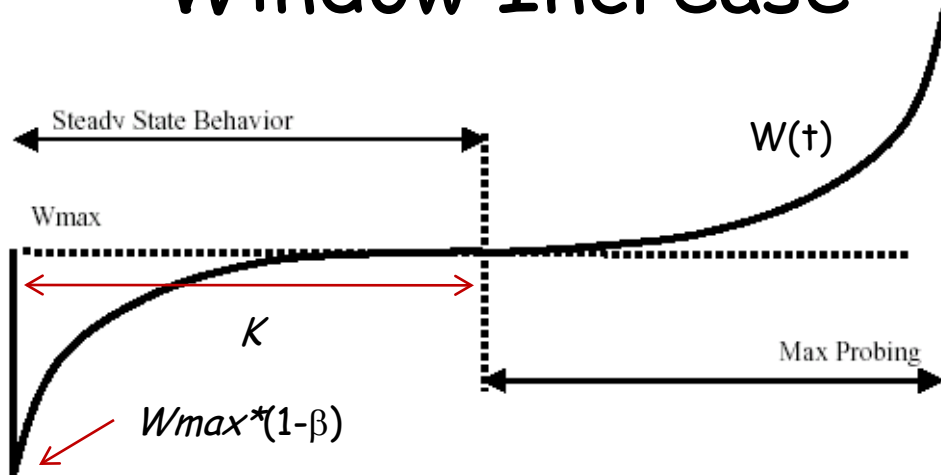
CUBIC-TCP (1)

- Cubic approximation of BIC-TCP



CUBIC-TCP (2)

- Window Increase



$$W(t) = C * (t - K)^3 + W_{max}$$

$$K = \sqrt[3]{\frac{W_{max} \beta}{C}}$$

$$W_{tcp}(t) = W_{max} (1 - \beta) + 3 \frac{\beta}{2 - \beta} \frac{t}{RTT}$$

```
/* cubic function */
Winc = W(t+RTT) - cwnd;
```

```
cwnd = cwnd + Winc / cwnd;
```

```
/* TCP mode */
if ( Wtcp > cwnd )
    cwnd = Wtcp;
```

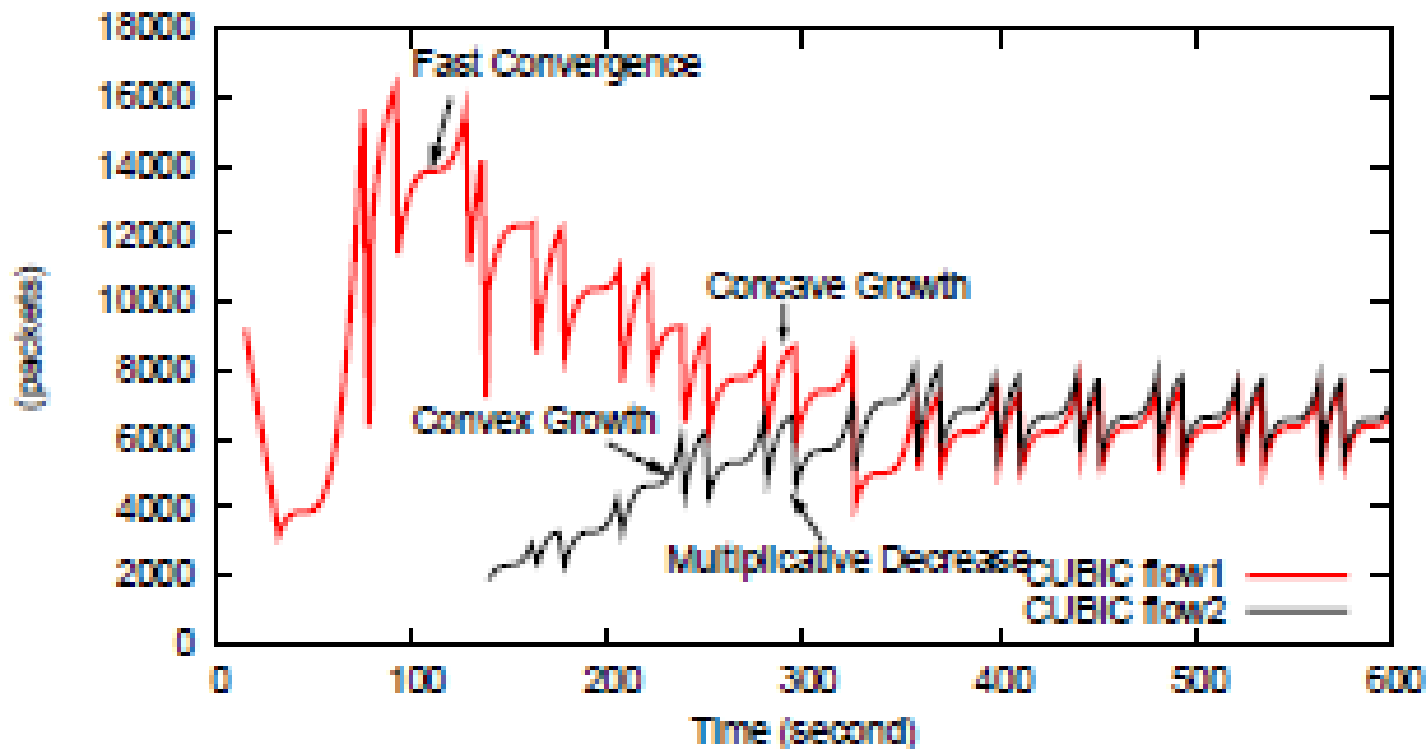
※ Window Decrease はBICと同じ

β : 減少率 (e.g. 0.2)

C : 定数 (e.g. 0.4)

CUBIC-TCP (3)

- CUBICの挙動



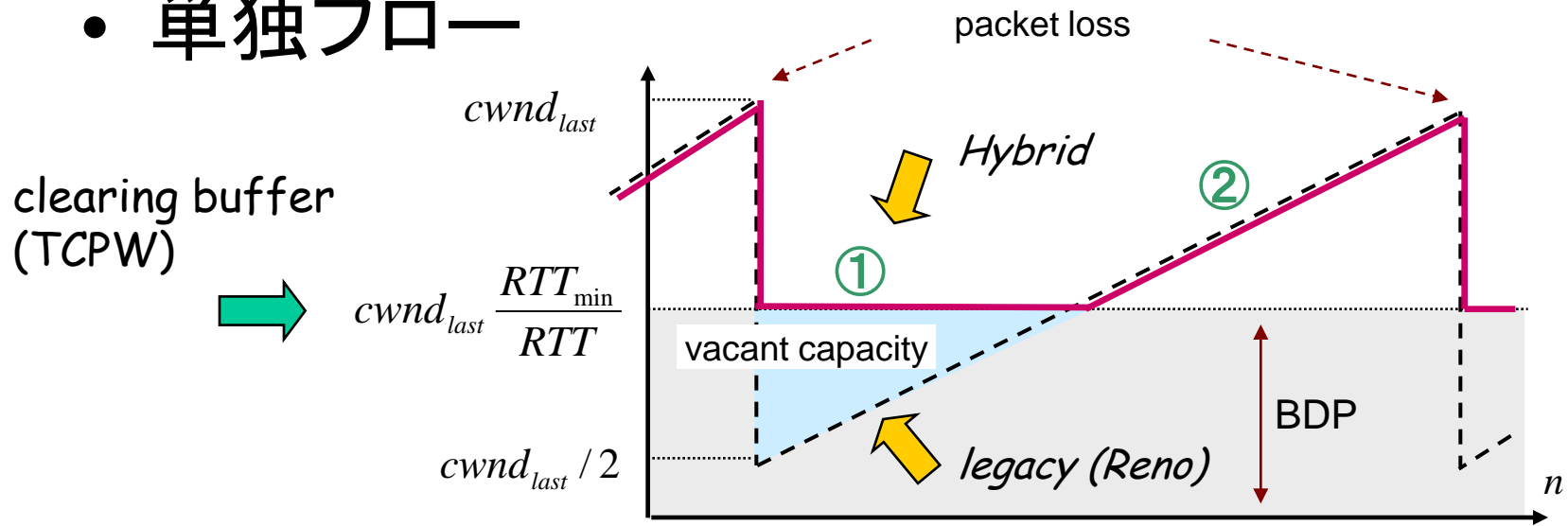
CUBIC-TCP (4)

- CUBICの長所
 - 安定性 (stability)
 - 複数CUBICフローの公平性 (intra-protocol fairness)
- CUBICの短所
 - 収束性 (responsiveness)
 - バッファの占有、遅延の増加 (\Leftrightarrow delay-driven)
 - 他プロトコルとの不公平性 (inter-protocol unfairness)
 - "Linux beats Windows!" (vs. Compound TCP)

Hybrid TCP and its Performance Analysis

Hybrid TCP (1)

- 単独フロー

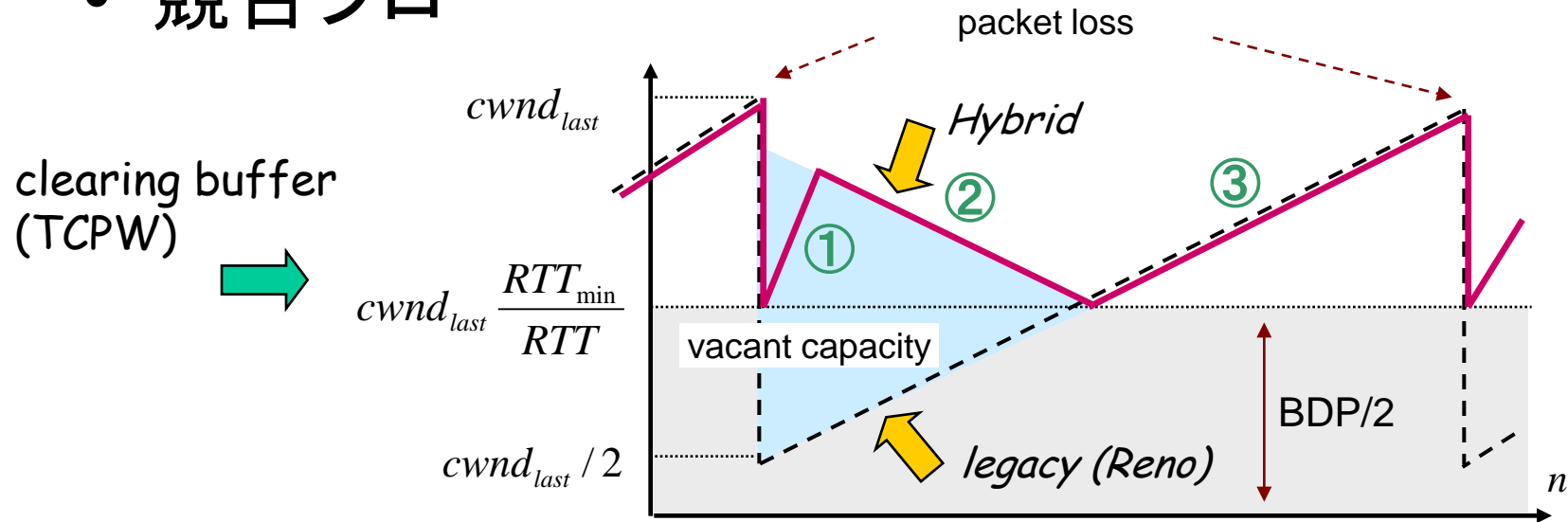


二つのモードの適応的な切り替え (loss & delay):

- ① RTTが増加するまでは一定レート (delay mode) : 効率性
- ② RTTが増加し始めたら Reno として動作 (loss mode) : 親和性

Hybrid TCP (2)

- 競合フロー

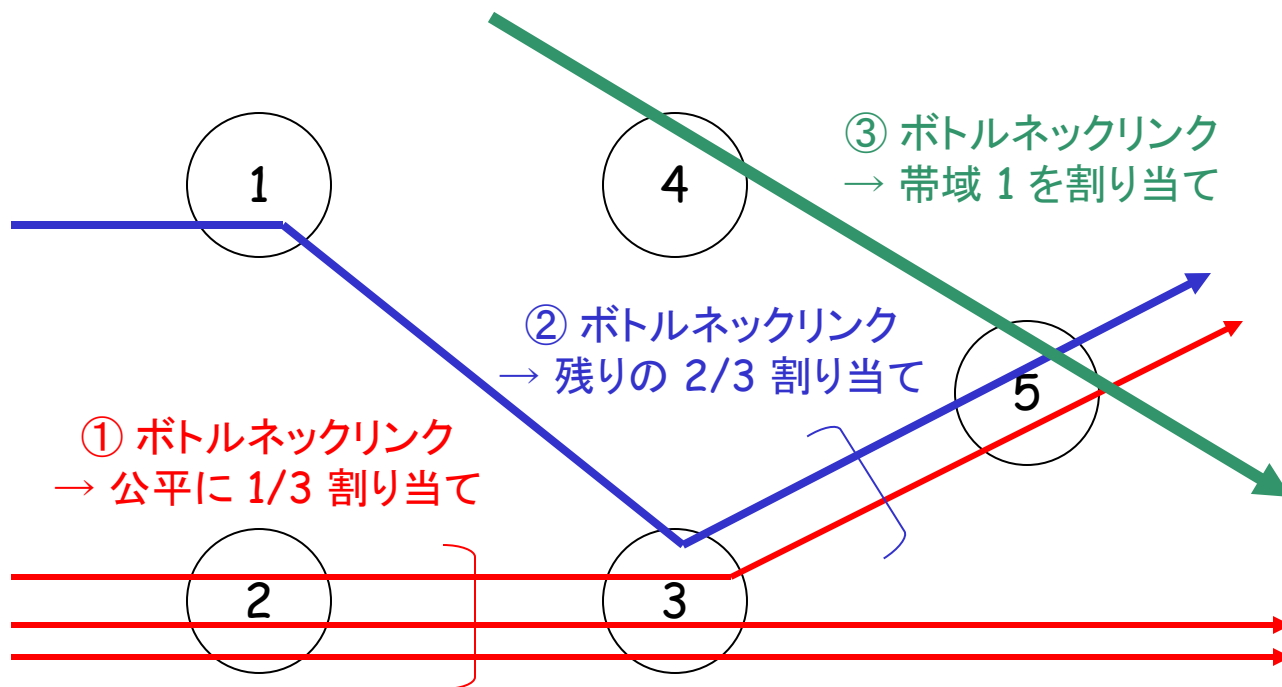


二つのモードの適応的な切り替え (loss & delay):

- ① $cwnd$ の急激な増加 (delay ... 効率性)
- ② $cwnd$ のなだらかな減少 (delay ... 輻輳回避)
- ③ RTTが増加し始めたら Reno として動作 (loss ... 親和性)

Min-Max Fair (理想解)

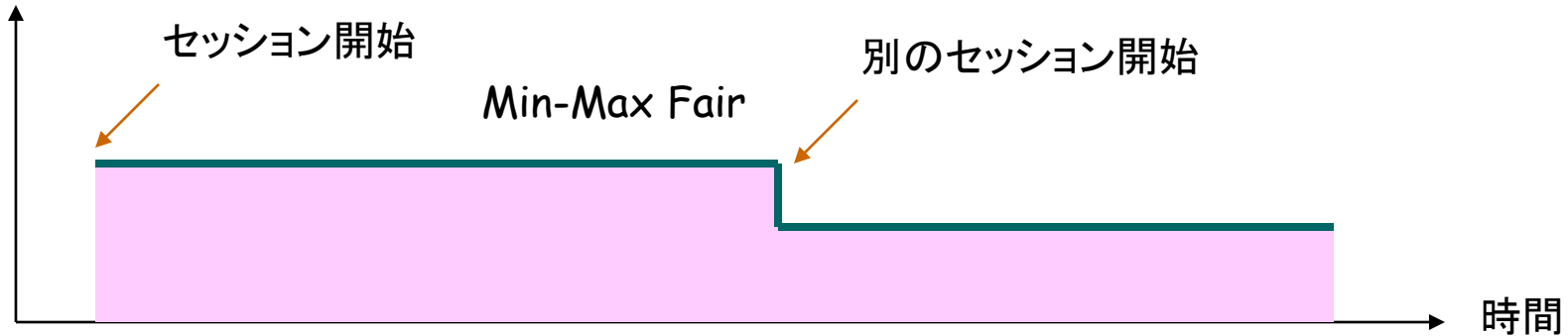
- 最も少ない帯域割当てを受けているユーザに最大の帯域割当てを行う動作を、すべてのユーザに対して繰り返す (最小最大公平)。



理想解：

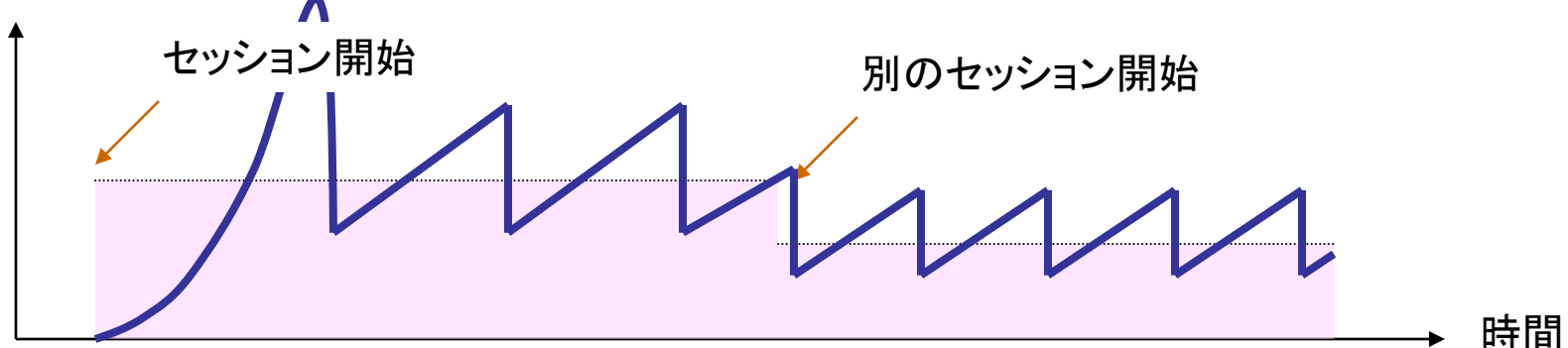
TCPの目標

使用帯域



TCP Reno

使用帯域



TCPの理想挙動モデル (1)

- モデルの定義
 - Loss-driven (TCP-Reno) :
 - $cwnd += 1$ ("RTTラウンド" 毎)
 - $cwnd *= 1/2$ (パケットロス時)
 - Delay-driven :
 - RTTが増加しないように "パイプ" を埋める(リンクを使い切る)
 - Hybrid :
 - RTTが増加しない場合は delay モードで動作
 - RTTが増加し始めたら loss モードで動作
 - モード選択: $cwnd = \max(cwnd_{loss}, cwnd_{delay})$

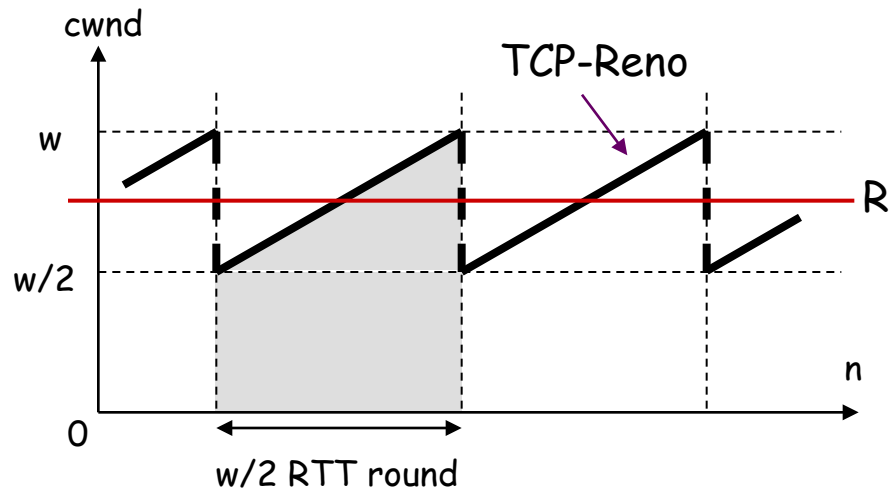
TCPの理想挙動モデル (2)

- パラメータの定義
 - w : パケットロスが発生するパケット数
 - W : ちょうどリンクを使い切るパケット数 $\sim \text{BDP}$
 - p : パケットロス率
- (乱暴な) 仮定
 - バッファオーバーフローによるパケットロスと、ランダムエラーによるパケットロスの影響を等価とみなす。

$$p = \frac{8}{3w^2} \quad (\text{in case of TCP-Reno})$$

TCPの理想挙動モデル (3)

- TCPフレンドリのモデル



w: パケットロスが起きる *cwnd*

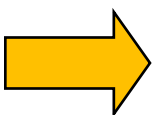
p: パケットロス率

RTT: ラウンドトリップ遅延

R: 等価なレート

パケットロスが起きるまで送れるパケット数 (= 台形の面積)

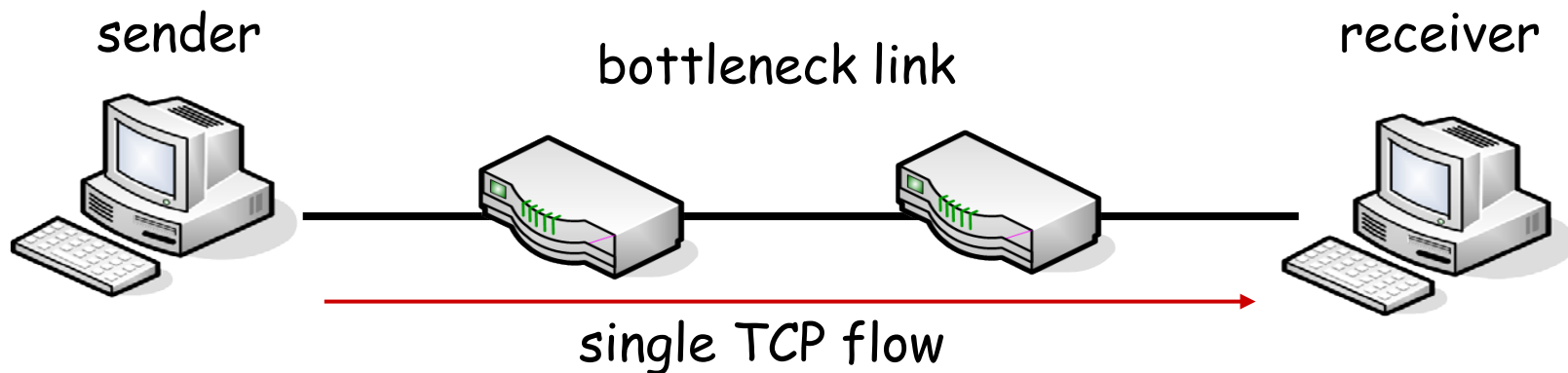
$$\frac{1}{2} \cdot \left(\frac{w}{2} + w \right) \cdot \frac{w}{2} = \frac{3w^2}{8}$$



$$\begin{cases} p = \frac{8}{3w^2} \\ R = \frac{PS}{RTT} \cdot \sqrt{\frac{3}{2p}} \end{cases}$$

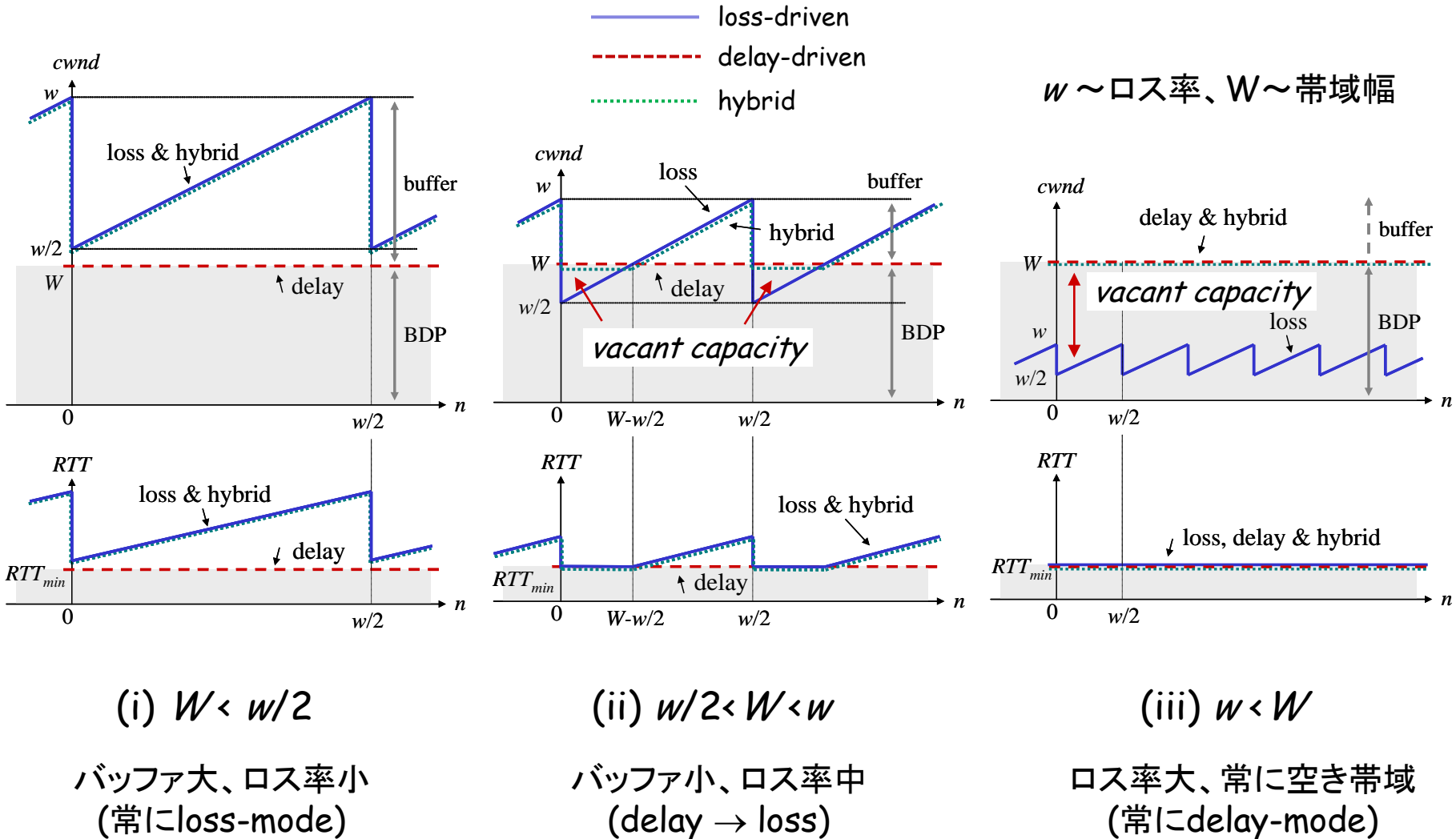
TCPの理想挙動モデル (4)

- 単独フローの場合



TCPの理想挙動モデル (5)

- cwnd と RTT の挙動



TCPの理想挙動モデル (6)

- 定式化

TCP	CA round	(i) $W < w/2$	(ii) $w/2 \leq W < w$	(iii) $w \leq W$
Loss	transmitted packets	$\frac{3}{8}w^2$	$\frac{3}{8}w^2$	$\frac{3}{8}w^2$
	elapsed time	$\frac{1}{2}w \cdot RTT_{\min} + \frac{1}{8}(3w^2 - 4wW) \cdot \frac{PS}{B}$	$\frac{1}{2}w \cdot RTT_{\min} + \frac{1}{2}(w-W)^2 \cdot \frac{PS}{B}$	$\frac{1}{2}w \cdot RTT_{\min}$
Delay	transmitted packets	$\frac{1}{2}w \cdot W$	$\frac{1}{2}w \cdot W$	$\frac{1}{2}w \cdot W$
	elapsed time	$\frac{1}{2}w \cdot RTT_{\min}$	$\frac{1}{2}w \cdot RTT_{\min}$	$\frac{1}{2}w \cdot RTT_{\min}$
Hybrid	transmitted packets	$\frac{3}{8}w^2$	$\frac{1}{2}w \cdot W + \frac{1}{2}(w-W)^2$	$\frac{1}{2}w \cdot W$
	elapsed time	$\frac{1}{2}w \cdot RTT_{\min} + \frac{1}{8}(3w^2 - 4wW) \cdot \frac{PS}{B}$	$\frac{1}{2}w \cdot RTT_{\min} + \frac{1}{2}(w-W)^2 \cdot \frac{PS}{B}$	$\frac{1}{2}w \cdot RTT_{\min}$

PS: Packet size, B: Link bandwidth

TCPの理想挙動モデル(7)

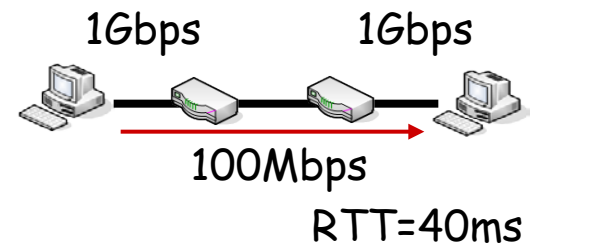
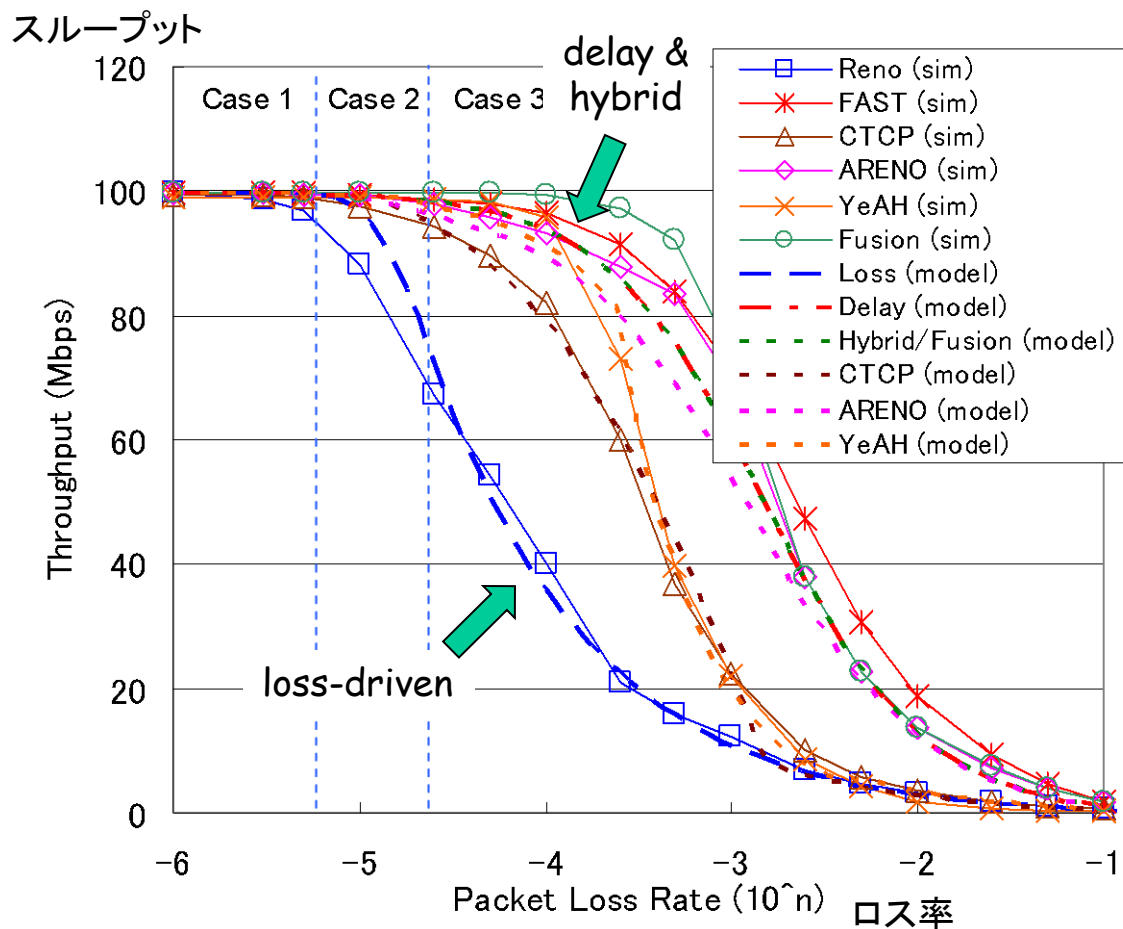
- 具体例の組込み(詳細略)

Hybrids	Window increase	Window decrease
Compound TCP	$0.125 * \text{cwnd}^{0.75}$	1/2
ARENO	$B/10\text{Mbps}$	1/2~1
YeAH-TCP	Scalable TCP (1.01)	$1/2, \text{RTT}_{\min}/\text{RTT}, 7/8$
TCP-Fusion	$B * D_{\min} / (N * PS)$	$\text{RTT}_{\min}/\text{RTT}$

D_{\min} : timer resolution, N: # of flows

TCPの理想挙動モデル (8)

- モデル評価とシミュレーション評価



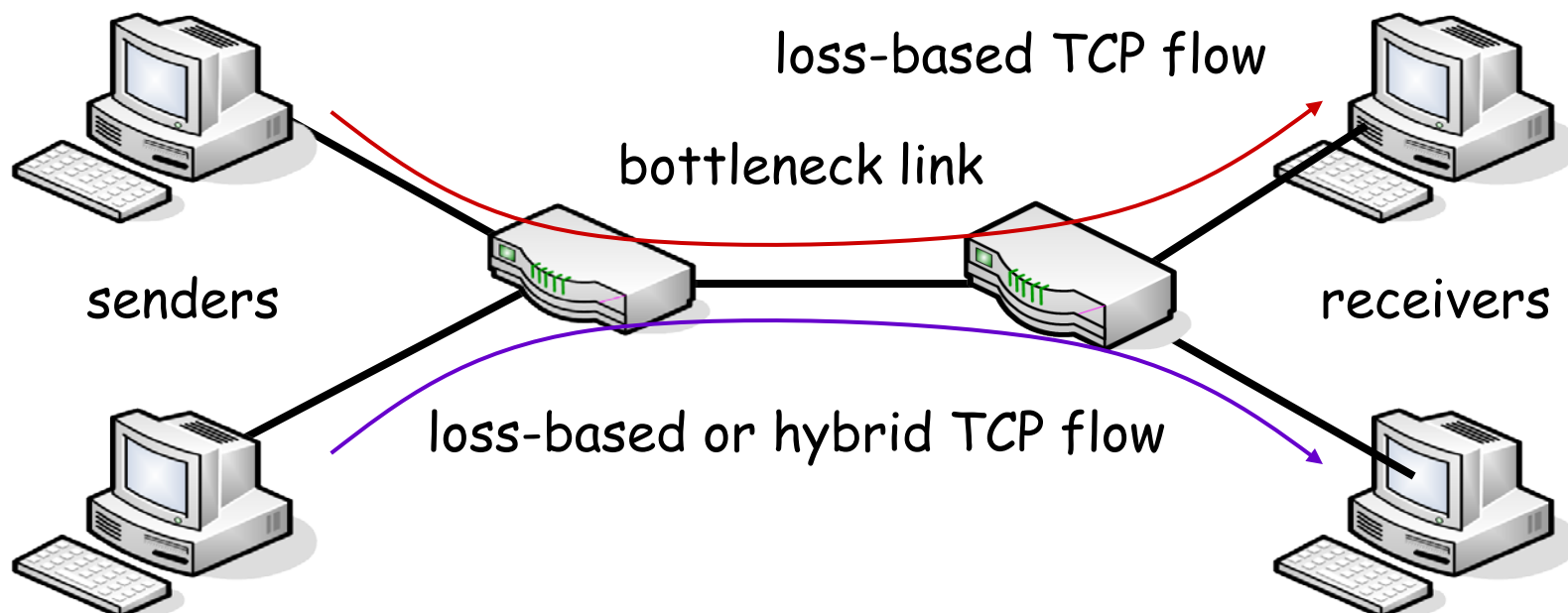
buffer size = BDP (constant)
Packet loss rate : variable

ロス率が大きい時($w/2 < W$)、
delay & hybrid のスループット
は loss-driven よりもはるかに
大きい(効率性の改善)。

Compound と YeAH の特性が
落ちるのは、ウィンドウ減少率
が大きいため。

TCPの理想挙動モデル (9)

- 競合フローの場合

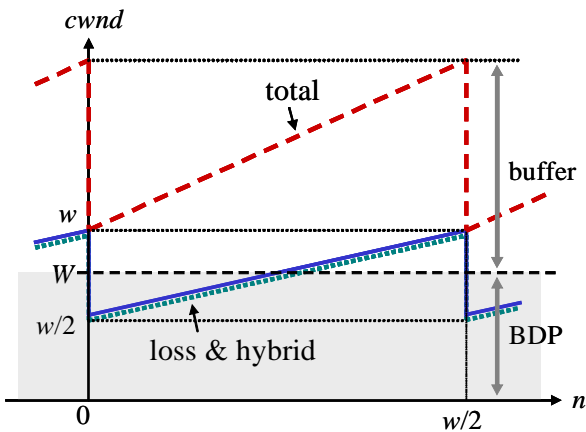


TCPの理想挙動モデル (10)

- cwnd の挙動(RTT省略)

— loss-driven
-·- hybrid
- - - total (loss + hybrid)

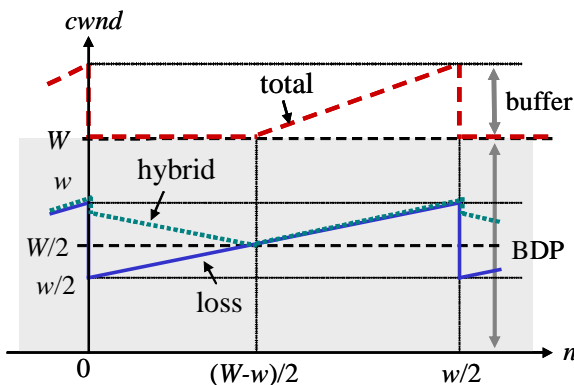
$w \sim$ ロス率、 $W \sim$ 帯域幅



(i) $W < w$ (low PLR)

always buffered
(loss mode)

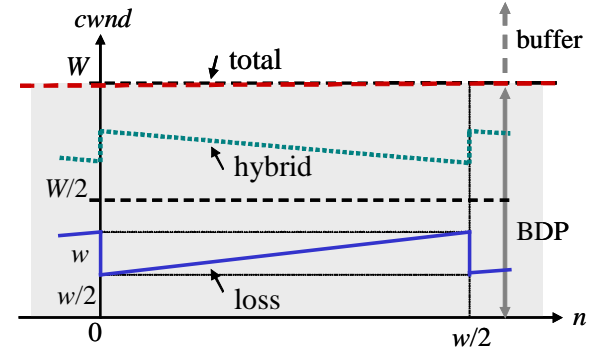
バッファ大、ロス率小



(ii) $w < W < 2w$ (medium PLR) (iii) $2w < W$ (high PLR)

vacant \rightarrow buffered
(delay \rightarrow loss)

バッファ小、ロス率中



always vacant
(delay mode)

ロス率大、常に空き帯域

TCPの理想拳動モデル (11)

- 定式化

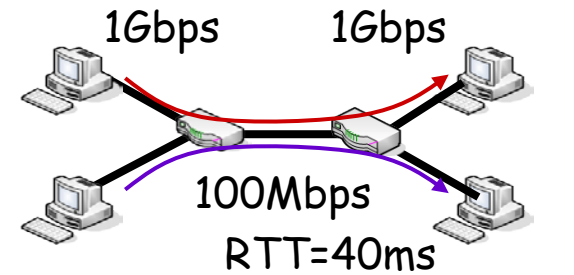
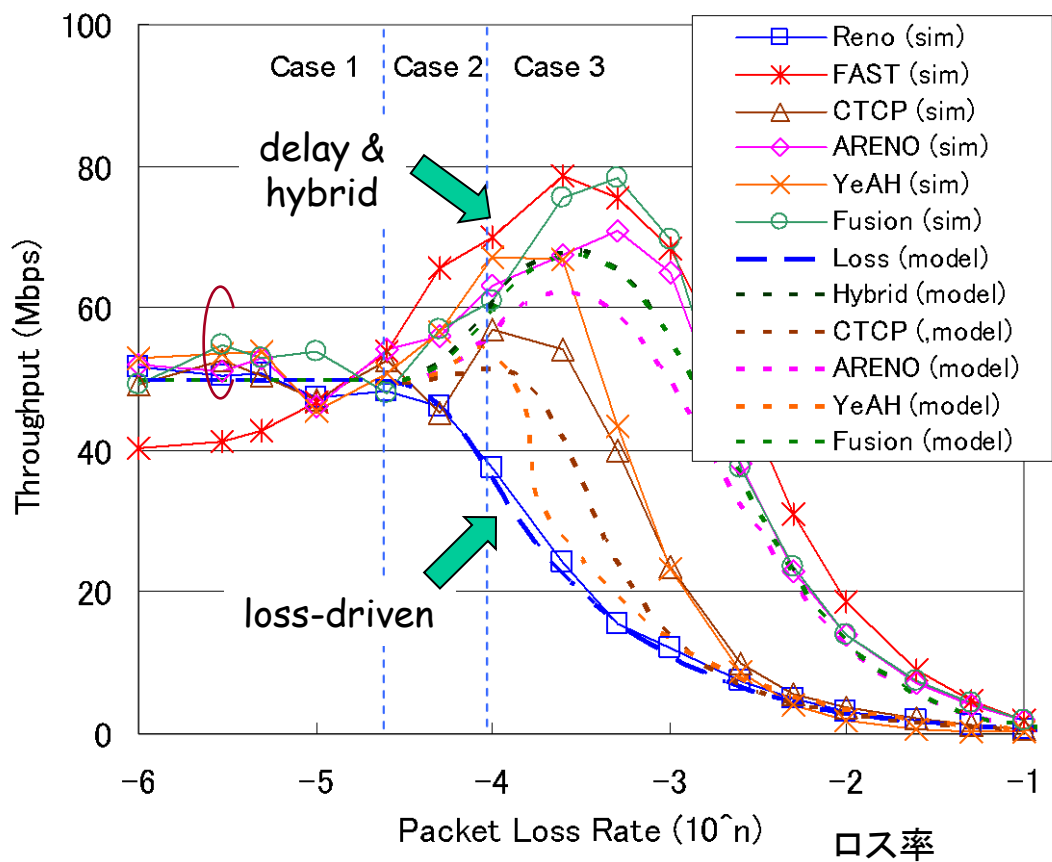
TCP	CA round	(i) $W < w$	(ii) $w \leq W < 2w$	(iii) $2w \leq W$
Loss	transmitted packets	$\frac{3}{8}w^2$	$\frac{3}{8}w^2$	$\frac{3}{8}w^2$
Hybrid	transmitted packets	$\frac{3}{8}w^2$	$\frac{3}{8}w^2 + \frac{1}{4}(W-w)^2$	$\frac{1}{2}w \cdot W - \frac{3}{8}w^2$
(common)	elapsed time	$\frac{1}{2}w \cdot RTT_{\min} + \frac{1}{4}w(3w-2W) \cdot \frac{PS}{B}$	$\frac{1}{2}w \cdot RTT_{\min} + \frac{1}{4}(2w-W)^2 \cdot \frac{PS}{B}$	$\frac{1}{2}w \cdot RTT_{\min}$

PS: Packet size, B: Link bandwidth

TCPの理想挙動モデル(12)

- モデル評価とシミュレーション評価

スループット



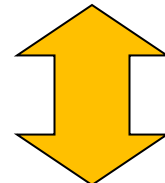
buffer size = BDP (constant)
Packet loss rate : variable

ロス率が大きい時($w < W$)、
delay & hybrid のスループット
は loss-driven よりもはるかに
大きい(効率性の改善)。

ロス率が小さい時($w > W$)、
hybridはlossと同様に振る舞う
(親和性の改善)。

TCPの理想挙動モデル(13)

- Hybrid TCPの利点
 - 空き帯域が存在する時(パケットロス率が大きい時)、スループット効率を大きく改善(delay-drivenの利点)
 - 空き帯域が存在しない時(バッファサイズが大きい時)レガシーTCPとの親和性を実現(loss-drivenの利点)
- Hybrid TCPの弱点
 - バッファサイズが大きい時、delay-drivenの利点が出ない(レガシーTCPはもう要らない?)



さて、どうしましょう。。。

Hybrid TCPのまとめ

Hybrid TCPのまとめ

- スループット効率と親和性の両立
 - リアルタイムストリーミング、大規模ファイルダウンロードへの適用
 - 無線環境でも有効？
 - CUBIC-TCPやCompound-TCPとの親和性
 - CUBIC-TCP: Linuxデフォルト
 - Compound-TCP: Windows
 - その他のメトリック
 - RTT公平性、Mice/Elephant、収束速度、etc...
 - ただし、あくまでも有効なのは delay-driven